



武汉理工大学
WUHAN UNIVERSITY OF TECHNOLOGY

理学院

高等数值分析实验报告

非线性方程组的迭代解法

——Newton 法及其衍生法和拟 Newton 法的对比

姓 名：袁 子 豪
学 号：104971210327
指导教师：朱 国 甫 教授

2021 年 12 月 29 日

摘要

考虑到非线性代数方程 $f(\mathbf{x}) = \mathbf{0}$ ，一般很难去直接求解。只能采用逐次逼近的迭代方法求解，即当知道解 \mathbf{x}^* 的某一初始近似值 \mathbf{x}_0 后，从它开始逐步逼近解 \mathbf{x}^* ，我们经常选用 Newton 迭代法解以上方程。Newton 迭代法是迭代法的一种，是求解函数方程 $f(x) = 0$ 及函数方程组 $f(\mathbf{x}) = \mathbf{0}$ 的一种有效方法，其基本特征是计算格式简单且收敛较快。作为工程中常用的数据处理分析方法，Newton 迭代法客观上存在优缺点。优点：Newton 迭代法具有平方收敛的速度，所以在迭代过程中只要迭代几次就会得到很精确的解，这是 Newton 迭代法比简单迭代法优越的地方；缺点：选定的初值要接近方程的解，否则有可能得不到收敛的结果。再者，Newton 迭代法计算量比较大，因为每次迭代除计算函数值外还要计算微商值。因此，在 Newton 法的基础上又衍生出了一些改进的迭代算法，修正 Newton 法、割线法和拟 Newton 法。本试验报告将从理论重述作为出发点，对 Newton 法、修正 Newton 法、割线法和拟 Newton 法的原理进行重述及证明，其后通过在 MATLAB 模拟计算来说明如何用 Newton 法、修正 Newton 法、割线法和拟 Newton 法去逼近求解非线性方程组。最后，本文通过模拟实验的结果数据去验证支撑 Newton 迭代法、修正 Newton 法、割线法和拟 Newton 法的一些优劣性。

关键词：非线性方程组，Newton 法，修正 Newton 法，割线法，拟 Newton 法

目 录

摘要	I
第 1 章 实验目标及准备工作	1
1.1 非线性方程组的数值解法	1
1.2 Newton 法简介	1
1.3 实验环境	2
1.4 编译环境	3
第 2 章 Newton 法及其衍生算法	4
2.1 Newton 法原理	4
2.2 Newton 法的局部收敛性	5
2.3 修正 Newton 法	9
2.4 割线法	10
2.5 拟 Newton 法	12
第 3 章 实验过程 (附代码)	14
3.1 非线性方程组迭代求解算法的伪代码	14
3.1.1 Newton 法的伪代码	14
3.1.2 修正 Newton 法的伪代码	15
3.1.3 割线法	15
3.1.4 拟 Newton 法	16
3.2 非线性方程组迭代算法代码的编写	17
第 4 章 实验结果	24
4.1 简例	24
4.2 各方法收敛速度的可视化展示	25
4.3 总结展望	28

第 1 章 实验目标及准备工作

本实验的目标为在 MATLAB 环境中使用 MATLAB 自带的基础函数对 Newton 法进行编程以实现任意非线性方程组的自适应求解问题，并且使用 MATLAB 自带的 plot 函数对迭代中的误差大小进行绘图，具象其收敛速度，对其性能进行分析并可视化。本实验的具体目标如下：

1. 掌握 Newton 法求解非线性方程组的基本思想和步骤。
2. 理解 Newton 法求解非线性方程组过程中的优缺点。
3. 掌握 Newton 法求解非线性方程组在 MATLAB 中的计算过程。

1.1 非线性方程组的数值解法

在研究非线性方程组的数值解法之前，首先要给非线性方程组于一个合理的定义：

定义 1 (非线性方程组). n 个变量 n 个方程 ($n > 1$) 的方程组表示为 $f_i(x_1, x_2, \dots, x_n) = 0$ (其中 $i = 1, 2, \dots, n$)，若 f_i 中至少有一个是非线性函数，则称上述表示的方程组 $f_i(x_1, x_2, \dots, x_n) = 0, i = 1, 2, \dots, n$ 为非线性方程组，并简记为

$$\mathbf{f}(\mathbf{x}) = \mathbf{0}$$

其中 $\mathbf{f}(\mathbf{x}) = (f_1, f_2, \dots, f_n)^T \in \mathbb{F}^n$, $f_i(\mathbf{x}) = f_i(x_1, x_2, \dots, x_n)$ 且 $\mathbf{x} \in \mathbb{R}^n$ 。

若存在 $\mathbf{x}^* \in \mathbb{R}^n$ ，使 $\mathbf{f}(\mathbf{x}^*) = \mathbf{0}$ ，则称 \mathbf{x}^* 为非线性方程组的解。上述方程组可能有一个解或多个解，也可能有无穷多解或无解。对非线性方程组解的存在性的研究远不如线性方程组那样成熟，现有的解法也不及线性方程组那样有效。除极特殊的方程外，一般不能用直接方法求得解析解。目前，主要采用迭代算法求数值解以逼近真值。根据不同思想构造收敛于解 \mathbf{x}^* 的迭代序列 $\{\hat{\mathbf{x}}_k\} (k = 0, 1, \dots)$ ，即可得到求解非线性方程组的各种迭代法。本文则是以 Newton 法为主，去研究非线性方程组的 Newton 法。

1.2 Newton 法简介

Newton 迭代法 (Newton's method) 又称为 Newton-拉夫逊方法 (Newton-Raphson method)，它是 Newton 在 17 世纪提出的一种在实数域和复数域上近似求解方程的方法。多数方程不存在求根公式，因此求精确根非常困难，甚至不可能，从而寻找方程的近似根就显得特别重要。

Newton 迭代法是求方程根的重要方法之一，其最大优点是在方程 $f(x) = 0$ 的单根附近具有平方收敛，而且该法还可以用来求方程的重根、复根，此时线性收敛，但是可通过一些方法变成超线性收敛。

简单迭代法是用直接的方法从原方程中隐含地解出 x ，从而确定出求解迭代函数 $\varphi(x)$ 。而 Newton 迭代法是用一种间接而特殊的方法来确定 $\varphi(x)$ 。先以一元方程为例，给出 Newton 迭代求解思想。

假设 x_k 是非线性方程为 $f(x) = 0$ 的一个近似根，把 $f(x)$ 在 x_k 处泰勒展开：

$$f(x) = f(x_k) + f'(x_k)(x - x_k) + \frac{f''(x_k)}{2!}(x - x_k)^2 + \dots$$

若取前两项来近似代 $f(x)$ （称为对 $f(x)$ 局部线性光滑处理），则得到近似的线性方程

$$f(x) \approx f(x_k) + f'(x_k)(x - x_k) = 0$$

设 $f'(x_k) \neq 0$ ，令其解为 x_{k+1} ，则得

$$x_{k+1} = x_k - \frac{f(x_k)}{f'(x_k)}$$

这称为方程 $f(x) = 0$ 的 Newton 迭代公式。它对应的迭代方程为

$$x = x - \frac{f(x)}{f'(x)}$$

显然与 $f(x) = 0$ 同解，故其迭代函数为

$$\varphi(x) = x - \frac{f(x)}{f'(x)} \quad (f'(x) \neq 0)$$

在 $f(x) = 0$ 的根 x^* 的某个邻域 $R(|x - x^*| \leq \delta)$ 内， $f(x) \approx 0$

$$|\varphi'(x)| = \frac{|f''(x)||f(x)|}{|f'(x)|^2} \leq L < 1$$

对于多元非线性方程组，Newton 法的思想依旧如此，具体的形式引入与性质及证明将在第二章进行说明。

1.3 实验环境

本实验运行在 matlab(R2021b) 的 macOS 版本下，界面如图1.1所示。

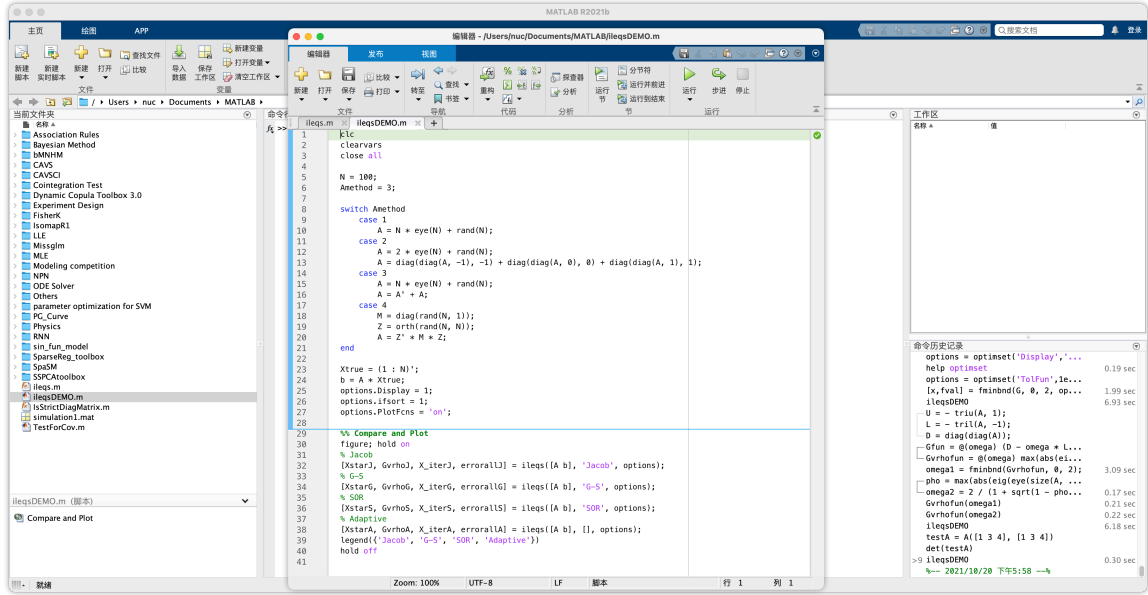


图 1.1: matlab 运行环境示意图

1.4 编译环境

本报告编译环境为 macOS 下的 Texpad，界面如图1.2所示。



图 1.2: Texpad 编译排版环境示意图

第 2 章 Newton 法及其衍生算法

在第 1 章第 2 节中，我们已经说明 Newton 法是解方程 $f(x) = 0$ 的基本方法之一。目前使用得较多的方法均以 Newton 法为基础，是 Newton 法的修改与变形。本章则是对 Newton 法求解一般非线性方程组的迭代思想，迭代形式，迭代收敛性进行详细叙述。

2.1 Newton 法原理

这里先假定映射 $\mathbf{f} : \mathbf{D} \subset \mathbb{R}^n \rightarrow \mathbb{R}^n$ 在开凸集 \mathbf{D} 中二次 \mathbf{G} -可导，且 $\mathbf{f}''(\mathbf{x})$ 于 \mathbf{D} 连续。设 \mathbf{x}^* 是非线性方程组 $\mathbf{f}(\mathbf{x}) = \mathbf{0}$ 的解。 $\mathbf{x}_0 \in \mathbf{D}$ 为 \mathbf{x}^* 的初始近似。利用 Taylor 展式，得

$$\mathbf{f}(\mathbf{x}) = \mathbf{f}(\mathbf{x}_0) + \mathbf{f}'(\mathbf{x}_0)(\mathbf{x} - \mathbf{x}_0) + \int_0^1 (\mathbf{x} - \mathbf{x}_0)^\top \mathbf{f}''(\mathbf{x}_0 + t(\mathbf{x} - \mathbf{x}_0)) (\mathbf{x} - \mathbf{x}_0) (1-t) dt \quad (2.1)$$

若是 $\mathbf{x}_0 \approx \mathbf{x}^*$ ，略去上式的高阶小量，用线性方程组去局部光滑非线性方程组：

$$\mathbf{f}(\mathbf{x}_0) + \mathbf{f}'(\mathbf{x}_0)(\mathbf{x} - \mathbf{x}_0) = \mathbf{0}$$

则推导出式 (2.1) 的解 \mathbf{x}_1 为

$$\mathbf{x}_1 = \mathbf{x}_0 - [\mathbf{f}'(\mathbf{x}_0)]^{-1} \mathbf{f}(\mathbf{x}_0)$$

一般 \mathbf{x}_1 较 \mathbf{x}_0 更接近 \mathbf{x}^* 。可用 \mathbf{x}_1 作为 \mathbf{x}^* 新的初始近似，导出：

$$\mathbf{f}(\mathbf{x}_1) + \mathbf{f}'(\mathbf{x}_1)(\mathbf{x} - \mathbf{x}_1) = \mathbf{0}$$

设其解为 \mathbf{x}_2

$$\mathbf{x}_2 = \mathbf{x}_1 - [\mathbf{f}'(\mathbf{x}_1)]^{-1} \mathbf{f}(\mathbf{x}_1)$$

依此类推，得 Newton 法迭代公式为

$$\mathbf{x}_{k+1} = \mathbf{x}_k - [\mathbf{f}'(\mathbf{x}_k)]^{-1} \mathbf{f}(\mathbf{x}_k) \quad k = 0, 1, 2, \dots \quad (2.2)$$

如第 1 章第 2 节中所述类似，但考虑到该公式为多元非线性方程组的迭代公式，需要注意的是：公式中 $\mathbf{f}'(\mathbf{x}_k)$ 是 \mathbf{f} 在 \mathbf{x}_k 处的 Jacobi 矩阵。这意味着需要用 n 个超切平面在 \mathbf{x}_k 处来局部线性光滑 $\mathbf{f}(\mathbf{x}) = \mathbf{0}$ ，并以此来确定方程组的解。在每步计算 Jacobi 矩阵 $\mathbf{f}'(\mathbf{x}_k)$ 的逆时，若 n 比较大，则计算十分麻烦。在实际计算时，一般采用如下形式

$$\begin{cases} \mathbf{f}'(\mathbf{x}_k) \Delta \mathbf{x}_k = -\mathbf{f}(\mathbf{x}_k) \\ \mathbf{x}_{k+1} = \mathbf{x}_k + \Delta \mathbf{x}_k \end{cases} \quad k = 0, 1, 2, \dots \quad (2.3)$$

即每一步迭代都需要解一个 n 阶线性方程组。

2.2 Newton 法的局部收敛性

在给出了 Newton 法的迭代思想和迭代公式之后，我们需要对 Newton 法的收敛性进行探究。首先有下面的局部收敛性定理

定理 1. 设 \mathbf{x}^* 是方程组 $\mathbf{f}(\mathbf{x}) = \mathbf{0}$ 的一个解, $\mathbf{f}: \mathbb{R}^n \rightarrow \mathbb{R}^n$ 在包含 \mathbf{x}^* 的邻域 \mathbf{D} 中 \mathbf{F} -可微, $\mathbf{f}'(\mathbf{x})$ 在 \mathbf{x}^* 连续, 且 $\mathbf{f}'(\mathbf{x}^*)$ 非奇异, 那么存在闭球 $\bar{\mathbf{S}}(\mathbf{x}^*, r) = \{\mathbf{x} \mid \|\mathbf{x} - \mathbf{x}^*\| \leq r\} \subset \mathbf{D}$, 使得对任意的 $\mathbf{x}_0 \in \bar{\mathbf{S}}(\mathbf{x}^*, r)$, 由 Newton 法的迭代公式 (2.1) 产生的迭代序列是适定的。并且 $\mathbf{x}_k \rightarrow \mathbf{x}^*$ (a.e. $k \rightarrow \infty$)。

在给出证明前, 先给出一条重要的引理: 线性方程组的迭代法时, 得出单步定常迭代法收敛的充分必要条件为迭代矩阵的谱半径小于 1; 对非线性方程组的单步定常迭代法, 我们也有下面的类似定理.

引理 1 (Ostrowski). 设映射 $\varphi: \mathbf{D} \subset \mathbb{R}^n \rightarrow \mathbb{R}^n$ 有一不动点 \mathbf{x}^* 是 \mathbf{D} 的内点, 且在 \mathbf{x}^* 处 \mathbf{F} -可导, $\varphi'(\mathbf{x}^*)$ 的谱半径

$$\rho(\varphi'(\mathbf{x}^*)) = \zeta < 1,$$

则存在开球 $\mathbf{S} = \mathbf{S}(\mathbf{x}^*, \delta) \subset \mathbf{D}$, 对任意的初值 $\mathbf{x}_0 \in \mathbf{S}$, 由 $\mathbf{x}_{k+1} = \varphi(\mathbf{x}_k)$ 产生的迭代序列 $\{\mathbf{x}_k\} \subset \mathbf{S}$ 并且收敛于 \mathbf{x}^* 。

引理 1 的证明:

由于 $\zeta < 1$, 故存在 $\varepsilon > 0$, 使 $\alpha = \zeta + 2\varepsilon < 1$ 。由线性代数知识, 存在一种范数使

$$\|\varphi'(\mathbf{x}^*)\|_\varepsilon \leq \zeta + \varepsilon$$

另一方面, 由 φ 在 \mathbf{x}^* 处 \mathbf{F} -可导的定义得, 对上述 $\varepsilon > 0, \exists \delta > 0$, 使 $\mathbf{S} = \mathbf{S}(\mathbf{x}^*, \delta) \subset \mathbf{D}$, 且对任意 $\mathbf{x} \in \mathbf{S}$, 有

$$\|\varphi(\mathbf{x}) - \varphi(\mathbf{x}^*) - \varphi'(\mathbf{x}^*)(\mathbf{x} - \mathbf{x}^*)\| \leq \varepsilon \|\mathbf{x} - \mathbf{x}^*\|$$

于是

$$\begin{aligned} \|\varphi(\mathbf{x}) - \mathbf{x}^*\|_\varepsilon &= \|\varphi(\mathbf{x}) - \varphi(\mathbf{x}^*)\|_\varepsilon \\ &\leq \|\varphi(\mathbf{x}) - \varphi(\mathbf{x}^*) - \varphi'(\mathbf{x}^*)(\mathbf{x} - \mathbf{x}^*)\|_\varepsilon + \|\varphi'(\mathbf{x}^*)(\mathbf{x} - \mathbf{x}^*)\|_\varepsilon \\ &\leq (\zeta + 2\varepsilon) \|\mathbf{x} - \mathbf{x}^*\|_\varepsilon = \alpha \|\mathbf{x} - \mathbf{x}^*\|_\varepsilon \end{aligned}$$

对任意 $\mathbf{x}_0 \in \mathbf{S}$, $\mathbf{x}_1 = \varphi(\mathbf{x}_0)$, 有

$$\|\mathbf{x}_1 - \mathbf{x}^*\|_\varepsilon = \|\varphi(\mathbf{x}_0) - \mathbf{x}^*\|_\varepsilon \leq \alpha \|\mathbf{x}_0 - \mathbf{x}^*\|_\varepsilon < \delta$$

因此, $\mathbf{x}_1 \in \mathbf{S}$ 。若已知 $\mathbf{x}_{k-1} \in \mathbf{S}$, 则由

$$\|\mathbf{x}_k - \mathbf{x}^*\|_\varepsilon = \|\varphi(\mathbf{x}_{k-1}) - \mathbf{x}^*\|_\varepsilon \leq \alpha \|\mathbf{x}_{k-1} - \mathbf{x}^*\|_\varepsilon \leq \alpha^k \|\mathbf{x}_0 - \mathbf{x}^*\|_\varepsilon < \delta$$

则可知 $\mathbf{x}_k \in \mathbf{S}$ ，这说明迭代序列 $\{\mathbf{x}_k\} \subset \mathbf{S}$ 是适定的。又因为 $0 < \alpha < 1$ ，并且可得 $\mathbf{x}_k \rightarrow \mathbf{x}^*$ 。

引理 1 证毕

定理 1 的证明:

由于 $\mathbf{f}'(\mathbf{x}^*)$ 非奇异，所以 $\det \mathbf{f}'(\mathbf{x}^*) \neq \mathbf{0}$ 。又 $\mathbf{f}'(\mathbf{x})$ 在 \mathbf{x}^* 连续，因此 $\det \mathbf{f}'(\mathbf{x})$ 在 \mathbf{x}^* 处亦连续，从而存在 $\delta_1 > 0$ ，当 $\|\mathbf{x} - \mathbf{x}^*\| \leq \delta_1$ 时，恒有 $\det \mathbf{f}'(\mathbf{x}) \neq \mathbf{0}$ ，即 $[\mathbf{f}'(\mathbf{x})]^{-1}$ 在闭球 $\bar{\mathbf{S}}(\mathbf{x}^*, \delta_1) = \{\mathbf{x} \mid \|\mathbf{x} - \mathbf{x}^*\| \leq \delta_1\} \subset \mathbf{D}$ 上存在令

$$\varphi(\mathbf{x}) = \mathbf{x} - [\mathbf{f}'(\mathbf{x})]^{-1} \mathbf{f}(\mathbf{x})$$

我们将证明 $\varphi'(\mathbf{x}^*) = \mathbf{0}$ 。根据 $\mathbf{f}'(\mathbf{x})$ 在 \mathbf{x}^* 处的连续性，对任给的 $\varepsilon > \mathbf{0}$ ，存在 $\delta > 0$ ，使得当 $\mathbf{x} \in \bar{\mathbf{S}}(\mathbf{x}^*, \delta) = \{\mathbf{x} \mid \|\mathbf{x} - \mathbf{x}^*\| \leq \delta < \delta_1\}$ 时有 $\|\mathbf{f}'(\mathbf{x}) - \mathbf{f}'(\mathbf{x}^*)\| \leq \varepsilon$ 。令 $\beta = \|[\mathbf{f}'(\mathbf{x}^*)]^{-1}\|$ ，则有

$$\begin{aligned} \|[\mathbf{f}'(\mathbf{x})]^{-1}\| &= \|[\mathbf{f}'(\mathbf{x})]^{-1} - [\mathbf{f}'(\mathbf{x}^*)]^{-1} + [\mathbf{f}'(\mathbf{x}^*)]^{-1}\| \\ &\leq \|[\mathbf{f}'(\mathbf{x})]^{-1} - [\mathbf{f}'(\mathbf{x}^*)]^{-1}\| + \|[\mathbf{f}'(\mathbf{x}^*)]^{-1}\| \\ &\leq \|[\mathbf{f}'(\mathbf{x}^*)]^{-1}\| \times \|\mathbf{f}'(\mathbf{x}) - \mathbf{f}'(\mathbf{x}^*)\| \times \|[\mathbf{f}'(\mathbf{x})]^{-1}\| + \beta \\ &\leq \beta \varepsilon \|[\mathbf{f}'(\mathbf{x})]^{-1}\| + \beta \end{aligned}$$

选取 ε ，使 $0 < \varepsilon < (2\beta)^{-1}$ ，则

$$\|[\mathbf{f}'(\mathbf{x})]^{-1}\| \leq \frac{\beta}{1 - \varepsilon\beta} < 2\beta$$

由于 \mathbf{f} 在 \mathbf{x}^* 处 \mathbf{F} -可微，我们可以选取足够小的正数 δ ，使得当 $\mathbf{x} \in \bar{\mathbf{S}}(\mathbf{x}^*, \delta) = \{\mathbf{x} \mid \|\mathbf{x} - \mathbf{x}^*\| \leq \delta < \delta_1\}$ 时有

$$\|\mathbf{f}(\mathbf{x}) - \mathbf{f}(\mathbf{x}^*) - \mathbf{f}'(\mathbf{x}^*)(\mathbf{x} - \mathbf{x}^*)\| \leq \varepsilon \|\mathbf{x} - \mathbf{x}^*\|$$

从而有

$$\begin{aligned} \|\varphi(\mathbf{x}) - \varphi(\mathbf{x}^*) - \mathbf{0}(\mathbf{x} - \mathbf{x}^*)\| &= \|\mathbf{x} - \mathbf{x}^* - [\mathbf{f}'(\mathbf{x})]^{-1} \mathbf{f}(\mathbf{x})\| \\ &= \|[\mathbf{f}'(\mathbf{x})]^{-1} \mathbf{f}'(\mathbf{x})(\mathbf{x} - \mathbf{x}^*) - [\mathbf{f}'(\mathbf{x})]^{-1} \mathbf{f}'(\mathbf{x}^*)(\mathbf{x} - \mathbf{x}^*) \\ &\quad + [\mathbf{f}'(\mathbf{x})]^{-1} \mathbf{f}'(\mathbf{x}^*)(\mathbf{x} - \mathbf{x}^*) + [\mathbf{f}'(\mathbf{x})]^{-1} \mathbf{f}(\mathbf{x}^*) - [\mathbf{f}'(\mathbf{x})]^{-1} \mathbf{f}(\mathbf{x})\| \\ &\leq \|[\mathbf{f}'(\mathbf{x})]^{-1}\| \times \|[\mathbf{f}'(\mathbf{x}) - \mathbf{f}'(\mathbf{x}^*)](\mathbf{x} - \mathbf{x}^*)\| \\ &\quad + \|[\mathbf{f}'(\mathbf{x})]^{-1}\| \times \|\mathbf{f}(\mathbf{x}) - \mathbf{f}(\mathbf{x}^*) - \mathbf{f}'(\mathbf{x}^*)(\mathbf{x} - \mathbf{x}^*)\| \\ &\leq (2\beta\varepsilon + 2\beta\varepsilon)\|\mathbf{x} - \mathbf{x}^*\| = 4\beta\varepsilon\|\mathbf{x} - \mathbf{x}^*\| \end{aligned}$$

于是证得 $\varphi'(\mathbf{x}^*) = \mathbf{0}$ 。从而 $\rho(\varphi'(\mathbf{x}^*)) < 1$ 。根据引理 1，存在闭球 $\bar{\mathbf{S}}(\mathbf{x}^*, r) = \{\mathbf{x} \mid \|\mathbf{x} - \mathbf{x}^*\| \leq r\} \subset \mathbf{D}$ 使得对任意的 $\mathbf{x}_0 \in \bar{\mathbf{S}}(\mathbf{x}^*, r)$ ，由 Newton 法 (2.1) 产生的迭代序列是适定的。并且 $\mathbf{x}_k \rightarrow \mathbf{x}^*$ 。

定理 1 证毕

定理 2 (Kantorovich). 假设给定了 \mathbb{R}^n 中的一个开集 \mathbf{D} , \mathbf{D}_0 为一凸集, 且 $\bar{\mathbf{D}}_0 \subset \mathbf{D}$. 设对于给定的 $\mathbf{x}_0 \in \mathbf{D}_0$, 存在正常数 $r, \alpha, \beta, \gamma, h$, 它们具有下列性质

$$\mathbf{S}(\mathbf{x}_0, r) \subseteq \mathbf{D}_0, \quad h = \frac{\alpha\beta\gamma}{2} < 1, \quad r = \frac{\alpha}{1-h}$$

若 $\mathbf{f}: \mathbb{R}^n \rightarrow \mathbb{R}^n$ 在 \mathbf{D} 中连续, 在 \mathbf{D}_0 上 \mathbf{F} -可微, 且具有下列性质:

- (1) $\|\mathbf{f}'(\mathbf{x}) - \mathbf{f}'(\mathbf{y})\| \leq \gamma\|\mathbf{x} - \mathbf{y}\|, \forall \mathbf{x}, \mathbf{y} \in \mathbf{D}_0$
- (2) $[\mathbf{f}'(\mathbf{x})]^{-1}$ 存在, 且: $\|[\mathbf{f}'(\mathbf{x})]^{-1}\| \leq \beta, \forall \mathbf{x} \in \mathbf{D}_0$
- (3) $\|[\mathbf{f}'(\mathbf{x}_0)]^{-1} \mathbf{f}(\mathbf{x}_0)\| \leq \alpha$

则

- (1) 从 \mathbf{x}_0 出发, $\mathbf{x}_{k+1} = \mathbf{x}_k - [\mathbf{f}'(\mathbf{x}_k)]^{-1} \mathbf{f}(\mathbf{x}_k)$ 是适定的, 且 $\mathbf{x}_k \in \mathbf{S}(\mathbf{x}_0, r)$
- (2) $\lim_{k \rightarrow \infty} \mathbf{x}_k = \mathbf{x}^*$ 极限存在, 且 $\mathbf{x}^* \in \bar{\mathbf{S}}(\mathbf{x}_0, r), \mathbf{f}(\mathbf{x}^*) = \mathbf{0}$
- (3) *Newton* 法至少为二阶收敛
- (4) 对 $k = 0, 1, 2, \dots$, 有 $\|\mathbf{x}_k - \mathbf{x}^*\| \leq \alpha \frac{h^{2^k} - 1}{1 - h^{2^k}}$

在给出定理 2 的证明前, 先给出引理 2 及其证明:

引理 2. 设 $\mathbf{f}: \mathbb{R}^n \rightarrow \mathbb{R}^m$ 在凸集 $\mathbf{S} \subset \mathbb{R}^n$ 上连续可导, 且 \mathbf{F} -导数 \mathbf{f}' 满足

$$\|\mathbf{f}'(\mathbf{u}) - \mathbf{f}'(\mathbf{v})\| \leq \alpha\|\mathbf{u} - \mathbf{v}\|^p, \forall \mathbf{u}, \mathbf{v} \in \mathbf{S}$$

其中 $\alpha \geq 0, p \geq 0$ 为常数, 则对任意的 $\mathbf{x}, \mathbf{y} \in \mathbf{S}$ 有

$$\|\mathbf{f}(\mathbf{y}) - \mathbf{f}(\mathbf{x}) - \mathbf{f}'(\mathbf{x})(\mathbf{y} - \mathbf{x})\| \leq \frac{\alpha}{1+p} \|\mathbf{y} - \mathbf{x}\|^{1+p}$$

引理 2 的证明

由引理 2 中形式可得

$$\begin{aligned} \|\mathbf{f}(\mathbf{y}) - \mathbf{f}(\mathbf{x}) - \mathbf{f}'(\mathbf{x})(\mathbf{y} - \mathbf{x})\| &= \left\| \int_0^1 [\mathbf{f}'(\mathbf{x} + t(\mathbf{y} - \mathbf{x})) - \mathbf{f}'(\mathbf{x})](\mathbf{y} - \mathbf{x}) dt \right\| \\ &\leq \int_0^1 \|\mathbf{f}'(\mathbf{x} + t(\mathbf{y} - \mathbf{x})) - \mathbf{f}'(\mathbf{x})\| \times \|\mathbf{y} - \mathbf{x}\| dt \\ &\leq \int_0^1 \alpha \|t(\mathbf{y} - \mathbf{x})\|^p \times \|\mathbf{y} - \mathbf{x}\| dt \\ &\leq \alpha \|\mathbf{y} - \mathbf{x}\|^{1+p} \int_0^1 t^p dt = \frac{\alpha}{1+p} \|\mathbf{y} - \mathbf{x}\|^{1+p} \end{aligned}$$

引理 2 证毕

定理 2 的证明

(1) 对 $\mathbf{x}_0 \in \mathbf{D}_0$, $[\mathbf{f}'(\mathbf{x})]^{-1}$ 存在, 根据条件 (3), 有

$$\|\mathbf{x}_1 - \mathbf{x}_0\| = \| -[\mathbf{f}'(\mathbf{x}_0)]^{-1} \mathbf{f}(\mathbf{x}_0) \| \leq \alpha = \alpha h^{2^0-1} < r$$

所以 $\mathbf{x}_1 \in \mathbf{S}(\mathbf{x}_0, r)$, 先设 $\mathbf{x}_j \in \mathbf{S}(\mathbf{x}_0, r), j = 0, 1, 2, \dots, k$ 。则根据条件 (2) \mathbf{x}_{k+1} 有定义且

$$\begin{aligned} \|\mathbf{x}_{k+1} - \mathbf{x}_k\| &= \| -[\mathbf{f}'(\mathbf{x}_k)]^{-1} \mathbf{f}(\mathbf{x}_k) \| \leq \beta \|\mathbf{f}(\mathbf{x}_k)\| \\ &= \beta \|\mathbf{f}(\mathbf{x}_k) - \mathbf{f}(\mathbf{x}_{k-1}) + \mathbf{f}(\mathbf{x}_{k-1})\| \\ &= \beta \|\mathbf{f}(\mathbf{x}_k) - \mathbf{f}(\mathbf{x}_{k-1}) - \mathbf{f}'(\mathbf{x}_{k-1})(\mathbf{x}_k - \mathbf{x}_{k-1})\| \end{aligned}$$

由引理 2($p = 1$ 的情况) 可知

$$\|\mathbf{x}_{k+1} - \mathbf{x}_k\| \leq \frac{\beta\gamma}{2} \|\mathbf{x}_k - \mathbf{x}_{k-1}\|^2$$

于是有

$$\|\mathbf{x}_{k+1} - \mathbf{x}_k\| \leq \alpha h^{2^k-1} \quad (2.4)$$

事实上, 当 $k = 0$ 时, 上面已经验证 (2.4) 成立。当 (2.4) 对 $k - 1$ 成立时

$$\|\mathbf{x}_{k+1} - \mathbf{x}_k\| \leq \frac{\beta\gamma}{2} \|\mathbf{x}_k - \mathbf{x}_{k-1}\|^2 \leq \frac{\beta\gamma}{2} (\alpha h^{2^{k-1}-1})^2 = \alpha h^{2^k-1}$$

因此, (2.4) 对 k 也成立, 则根据数学归纳法可知, (2.4) 对任意的 $k = 0, 1, 2, \dots$ 皆成立, 则

$$\begin{aligned} \|\mathbf{x}_{k+1} - \mathbf{x}_0\| &= \left\| \sum_{i=0}^k (\mathbf{x}_{i+1} - \mathbf{x}_i) \right\| \leq \sum_{i=0}^k \|\mathbf{x}_{i+1} - \mathbf{x}_i\| \\ &\leq \alpha(1 + h + h^3 + \dots + h^{2^k-1}) \\ &\leq \alpha/(1 - h) = r \end{aligned}$$

则有 $\mathbf{x}_{k+1} \in \mathbf{S}(\mathbf{x}_0, r)$, 即 $\{\mathbf{x}_k\}$ 是适定的, 且有 $\mathbf{x}_k \in \mathbf{S}(\mathbf{x}_0, r)$ 。

(2) 由 (2.4) 式可得:

$$\begin{aligned} \|\mathbf{x}_{k+m} - \mathbf{x}_k\| &= \left\| \sum_{i=1}^m (\mathbf{x}_{k+i} - \mathbf{x}_{k+i-1}) \right\| \leq \sum_{i=0}^k \|\mathbf{x}_{k+i} - \mathbf{x}_{k+i-1}\| \\ &\leq \alpha h^{2^k-1} (1 + h^{2^k} + h^{2^{k+1}} + \dots + h^{2^{k+m}-1}) \\ &\leq \alpha h^{2^k-1} / (1 - h^{2^k}) \rightarrow 0 \end{aligned} \quad (2.5)$$

所以 $\{\mathbf{x}_k\}$ 是一个 Cauchy 序列, 从而极限存在且有

$$\lim_{k \rightarrow \infty} \mathbf{x}_k = \mathbf{x}^*, \mathbf{x}^* \in \bar{\mathbf{S}}(\mathbf{x}_0, r)$$

对 $k \geq 0$ 时,

$$\begin{aligned}\|\mathbf{f}'(\mathbf{x}_k)\| &= \|\mathbf{f}'(\mathbf{x}_k) - \mathbf{f}'(\mathbf{x}_0) + \mathbf{f}'(\mathbf{x}_0)\| \leq \|\mathbf{f}'(\mathbf{x}_k) - \mathbf{f}'(\mathbf{x}_0)\| + \|\mathbf{f}'(\mathbf{x}_0)\| \\ &\leq \gamma\|\mathbf{x}_k - \mathbf{x}_0\| + \|\mathbf{f}'(\mathbf{x}_0)\| \leq \gamma r + \|\mathbf{f}'(\mathbf{x}_0)\|\end{aligned}$$

且又因为 $\mathbf{f}(\mathbf{x}_k) = -\mathbf{f}'(\mathbf{x}_k)(\mathbf{x}_{k+1} - \mathbf{x}_k)$, 则

$$\|\mathbf{f}(\mathbf{x}_k)\| \leq \|\mathbf{f}'(\mathbf{x}_k)\| \times \|\mathbf{x}_{k+1} - \mathbf{x}_k\| \leq (\gamma r + \|\mathbf{f}'(\mathbf{x}_0)\|)\|\mathbf{x}_{k+1} - \mathbf{x}_k\|$$

得到

$$\lim_{k \rightarrow \infty} \|\mathbf{f}(\mathbf{x}_k)\| = \|\mathbf{f}(\mathbf{x}^*)\| = 0$$

(3) 由引理 2 ($p = 1$ 的情况) 可得:

$$\begin{aligned}\|\mathbf{x}_{k+1} - \mathbf{x}^*\| &= \|\mathbf{x}_k - [\mathbf{f}'(\mathbf{x}_k)]^{-1} \mathbf{f}(\mathbf{x}_k) - \mathbf{x}^* + [\mathbf{f}'(\mathbf{x}_k)]^{-1} \mathbf{f}(\mathbf{x}^*)\| \\ &= \|[\mathbf{f}'(\mathbf{x}_k)]^{-1} [\mathbf{f}(\mathbf{x}^*) - \mathbf{f}(\mathbf{x}_k) - \mathbf{f}'(\mathbf{x}_k)(\mathbf{x}^* - \mathbf{x}_k)]\| \\ &\leq \|[\mathbf{f}'(\mathbf{x}_k)]^{-1}\| \times \|\mathbf{f}(\mathbf{x}^*) - \mathbf{f}(\mathbf{x}_k) - \mathbf{f}'(\mathbf{x}_k)(\mathbf{x}^* - \mathbf{x}_k)\| \\ &\leq \frac{\beta\gamma}{2} \|\mathbf{x}^* - \mathbf{x}_k\|^2 = \frac{h}{\alpha} \|\mathbf{x}^* - \mathbf{x}_k\|^2\end{aligned}$$

则得到结论: Newton 法至少二阶收敛。

(3) 根据式 (2.5), 我们有

$$\|\mathbf{x}^* - \mathbf{x}_k\| = \lim_{m \rightarrow \infty} \|\mathbf{x}_{m+k} - \mathbf{x}_k\| \leq \alpha h^{2^k-1} / (1 - h^{2^k})$$

定理 2 证毕

2.3 修正 Newton 法

在 Newton 法的实际计算中, 我们发现 Newton 法收敛速度快, 计算量很大:

- (1) 在每一步迭代中, 要计算 n 个函数值;
- (2) 形成 Jacobi 矩阵 $\mathbf{f}'(\mathbf{x}_k)$ 要计算 n^2 个偏导数值;
- (3) 解一个 n 阶线性方程组。

为了减少 Newton 法的计算量, 加快迭代的计算速度, 于是对 Newton 法 (2.2) 进行简单的改进, 得到修正 Newton 法迭代公式为

$$\mathbf{x}_{k+1} = \mathbf{x}_k - [\mathbf{f}'(\mathbf{x}_0)]^{-1} \mathbf{f}(\mathbf{x}_k) \quad k = 0, 1, 2, \dots \quad (2.6)$$

可以看出, 在 (2.6) 中只是对 (2.2) 的将 $[\mathbf{f}'(\mathbf{x}_k)]^{-1}$ 固定为了 $[\mathbf{f}'(\mathbf{x}_0)]^{-1}$, 从而在每一步迭代中减少了 Jacobi 矩阵 $\mathbf{f}'(\mathbf{x}_k)$ 的 n^2 个偏导数值的计算。这样做使得计算量大为减少, 但降低了收敛速度。可以在用 (2.6) 计算若干步后, 重新形成 Jacobi 矩阵, 以提高收敛速度。

2.4 割线法

应用 Newton 法时，在每一步迭代中都要形成 Jacobi 矩阵 $\mathbf{f}'(\mathbf{x})$ 。这需要计算 n^2 个偏导数值。当 $\mathbf{f}(\mathbf{x}_k)$ 的分量 $f_i(\mathbf{x}_k)$ 的偏导数无法计算或计算过程很复杂时，应用 Newton 法将会有很大困难。为了克服这种困难，这一节，我们来介绍割线法，它避免了求导过程。Newton 法是用以下线性函数

$$\mathbf{L}_k(\mathbf{x}) = \mathbf{f}'(\mathbf{x}_k)(\mathbf{x} - \mathbf{x}_k) + \mathbf{f}(\mathbf{x}_k) \approx \mathbf{f}(\mathbf{x})$$

一般地，可用线性函数

$$\mathbf{L}_k(\mathbf{x}) = \mathbf{A}_k \mathbf{x} + \mathbf{b}_k \approx \mathbf{f}(\mathbf{x}) \quad (2.7)$$

去逼近 $\mathbf{f}(\mathbf{x})$ ，这里的 \mathbf{A}_k 为 n 阶矩阵， \mathbf{b}_k 为 n 阶向量。若是用插值的方法去确定 \mathbf{A}_k 和 \mathbf{b}_k ，则得到其对应的迭代公式。这就是割线法的基本思想。

设已求得 $\mathbf{f}(\mathbf{x}) = \mathbf{0}$ 的 k 次近似为 \mathbf{x}_k ，记 $\mathbf{x}_k = \mathbf{x}_k^{(0)}$ 。取 n 个辅助点 $\mathbf{x}_k^{(1)}, \mathbf{x}_k^{(2)}, \dots, \mathbf{x}_k^{(n)}$ 及其对应的函数方程组的值向量 $\mathbf{f}(\mathbf{x}_k^{(1)}), \mathbf{f}(\mathbf{x}_k^{(2)}), \dots, \mathbf{f}(\mathbf{x}_k^{(n)})$ ，代入到式 (2.7) 得

$$\begin{cases} \mathbf{L}_k(\mathbf{x}_k) = \mathbf{A}_k \mathbf{x}_k + \mathbf{b}_k = \mathbf{f}(\mathbf{x}_k) \\ \mathbf{L}_k(\mathbf{x}_k^{(j)}) = \mathbf{A}_k \mathbf{x}_k^{(j)} + \mathbf{b}_k = \mathbf{f}(\mathbf{x}_k^{(j)}), j = 1, 2, \dots, n \end{cases}$$

两式相减，得

$$\begin{aligned} \mathbf{A}_k(\mathbf{x}_k^{(j)} - \mathbf{x}_k) &= \mathbf{f}(\mathbf{x}_k^{(j)}) - \mathbf{f}(\mathbf{x}_k), j = 1, 2, \dots, n \\ \mathbf{b}_k &= \mathbf{f}(\mathbf{x}_k) - \mathbf{A}_k \mathbf{x}_k \end{aligned} \quad (2.8)$$

记

$$\begin{cases} \mathbf{H}_k = [\mathbf{x}_k^{(1)} - \mathbf{x}_k, \dots, \mathbf{x}_k^{(n)} - \mathbf{x}_k] \\ \mathbf{\Gamma}_k = [\mathbf{f}(\mathbf{x}_k^{(1)}) - \mathbf{f}(\mathbf{x}_k), \dots, \mathbf{f}(\mathbf{x}_k^{(n)}) - \mathbf{f}(\mathbf{x}_k)] \end{cases}$$

则可将 (2.8) 式简记为

$$\mathbf{A}_k \mathbf{H}_k = \mathbf{\Gamma}_k$$

若 \mathbf{H}_k 非奇异，即 $\mathbf{x}_k^{(1)} - \mathbf{x}_k, \dots, \mathbf{x}_k^{(n)} - \mathbf{x}_k$ 线性无关，则 $\mathbf{A}_k = \mathbf{\Gamma}_k \mathbf{H}_k^{-1}$ 若 $\mathbf{\Gamma}_k$ 也非奇异，即 $\mathbf{f}(\mathbf{x}_k^{(1)}) - \mathbf{f}(\mathbf{x}_k), \dots, \mathbf{f}(\mathbf{x}_k^{(n)}) - \mathbf{f}(\mathbf{x}_k)$ 也是线性无关，则 $\mathbf{A}_k^{-1} = \mathbf{H}_k \mathbf{\Gamma}_k^{-1}$ 因此 (2.7) 式的系数可唯一确定。令 $\mathbf{L}_k(\mathbf{x}) = \mathbf{0}$ ，得

$$\begin{cases} \mathbf{A}_k(\mathbf{x} - \mathbf{x}_k) + \mathbf{f}(\mathbf{x}_k) = \mathbf{0} \\ \mathbf{A}_k = \mathbf{\Gamma}_k \mathbf{H}_k^{-1} \end{cases}$$

解出 \mathbf{x} ，令 $\mathbf{x}_{k+1} = \mathbf{x}$ ，便得到迭代公式：

$$\begin{cases} \mathbf{x}_{k+1} = \mathbf{x}_k - \mathbf{A}_k^{-1} \mathbf{f}(\mathbf{x}_k) \\ \mathbf{A}_k^{-1} = \mathbf{H}_k \mathbf{\Gamma}_k^{-1} \end{cases} \quad (2.9)$$

这就是解非线性方程组 $\mathbf{f}(\mathbf{x}) = \mathbf{0}$ 的割线法。

割线法完全避免了计算偏导数，但要计算辅助点的函数值。适当地选择辅助点是减少计算量、保证收敛速度的关键。下面讨论两种具体的辅助点选择方法：

• $n+1$ 点割线法

取

$$\begin{aligned}\mathbf{H}_k &= [\mathbf{x}_{k-1} - \mathbf{x}_k, \dots, \mathbf{x}_{k-n} - \mathbf{x}_k] \\ \mathbf{\Gamma}_k &= [\mathbf{f}(\mathbf{x}_{k-1}) - \mathbf{f}(\mathbf{x}_k), \dots, \mathbf{f}(\mathbf{x}_{k-n}) - \mathbf{f}(\mathbf{x}_k)]\end{aligned}$$

引入记号

$$\begin{aligned}\bar{\mathbf{H}}_k &= [\mathbf{x}_{k-1} - \mathbf{x}_k, \mathbf{x}_{k-2} - \mathbf{x}_{k-1}, \dots, \mathbf{x}_{k-n} - \mathbf{x}_{k-n+1}] \\ \bar{\mathbf{\Gamma}}_k &= [\mathbf{f}(\mathbf{x}_{k-1}) - \mathbf{f}(\mathbf{x}_k), \mathbf{f}(\mathbf{x}_{k-2}) - \mathbf{f}(\mathbf{x}_{k-1}), \dots, \mathbf{f}(\mathbf{x}_{k-n}) - \mathbf{f}(\mathbf{x}_{k-n+1})]\end{aligned}$$

并记

$$\mathbf{P} = \begin{bmatrix} 1 & -1 & & & \\ & 1 & -1 & & \\ & & \ddots & \ddots & \\ & & & 1 & -1 \\ & & & & 1 \end{bmatrix}$$

则

$$\bar{\mathbf{H}}_k = \mathbf{H}_k \mathbf{P}, \quad \bar{\mathbf{\Gamma}}_k = \mathbf{\Gamma}_k \mathbf{P}, \quad \mathbf{A}_k = \mathbf{\Gamma}_k \mathbf{H}_k^{-1} = \bar{\mathbf{\Gamma}}_k \bar{\mathbf{H}}_k^{-1}$$

因此 $n+1$ 点割线法的计算公式可写成为

$$\begin{cases} \mathbf{x}_{k+1} = \mathbf{x}_k - \bar{\mathbf{H}}_k \mathbf{z}_k \\ \bar{\mathbf{\Gamma}}_k \mathbf{z}_k = \mathbf{f}(\mathbf{x}_k) \end{cases} \quad (2.10)$$

$n+1$ 点割线法的特点是计算量少，但是不稳定。

• 两点割线法

当 \mathbf{H}_k 只与 $\mathbf{x}_k, \mathbf{x}_{k-1}$ 有关时，称之为两点割线法。记

$$\begin{aligned}\mathbf{x}_k &= (x_{k,1}, \dots, x_{k,n}) \\ h_j^{(k)} &= x_{k-1,j} - x_{k,j}, \quad j = 1, 2, \dots, n \\ \mathbf{e}_j &\text{为第 } j \text{ 维单位向量}\end{aligned}$$

两点割线法最简单的形式是取

$$\mathbf{H}_k = \text{Diag}[h_1^{(k)}, \dots, h_n^{(k)}] \quad (2.11)$$

此时

$$\begin{aligned}\mathbf{\Gamma}_k &= [\mathbf{f}(\mathbf{x}_k + h_1^{(k)} \mathbf{e}_1) - \mathbf{f}(\mathbf{x}_k), \dots, \mathbf{f}(\mathbf{x}_k + h_n^{(k)} \mathbf{e}_n) - \mathbf{f}(\mathbf{x}_k)] \\ \mathbf{A}_k &= \mathbf{\Gamma}_k \mathbf{H}_k^{-1} = \left[\frac{\mathbf{f}(\mathbf{x}_k + h_1^{(k)} \mathbf{e}_1) - \mathbf{f}(\mathbf{x}_k)}{h_1^{(k)}}, \dots, \frac{\mathbf{f}(\mathbf{x}_k + h_n^{(k)} \mathbf{e}_n) - \mathbf{f}(\mathbf{x}_k)}{h_n^{(k)}} \right]\end{aligned}$$

则迭代公式变为

$$\mathbf{x}_{k+1} = \mathbf{x}_k - \mathbf{A}_k^{-1} \mathbf{f}(\mathbf{x}_k) \quad (2.12)$$

2.5 拟 Newton 法

割线法的实质是在 \mathbf{x}_{k+1} 点构造 Jacobi 矩阵 $\mathbf{f}'(\mathbf{x}_k)$ 的近似矩阵 \mathbf{A}_k ，从而避免导数的计算。但割线法用于方程组的求解时，数值稳定性不好。在构造 $n+1$ 点割线法时，当 $n \leq k$ 时，有以下关系：

$$\mathbf{A}_k(\mathbf{x}_j - \mathbf{x}_k) = \mathbf{f}(\mathbf{x}_j) - \mathbf{f}(\mathbf{x}_k) \quad j = k-1, k-2, \dots, k-n$$

$$\mathbf{A}_k(\mathbf{x}_{k+1} - \mathbf{x}_k) = -\mathbf{f}(\mathbf{x}_k)$$

$$\mathbf{A}_{k+1}(\mathbf{x}_j - \mathbf{x}_{k+1}) = \mathbf{f}(\mathbf{x}_j) - \mathbf{f}(\mathbf{x}_{k+1}) \quad j = k, k-1, \dots, k-n+1$$

因此

$$\mathbf{A}_k(\mathbf{x}_{j+1} - \mathbf{x}_j) = \mathbf{f}(\mathbf{x}_{j+1}) - \mathbf{f}(\mathbf{x}_j) \quad j = k-1, k-2, \dots, k-n$$

$$\mathbf{A}_{k+1}(\mathbf{x}_{j+1} - \mathbf{x}_j) = \mathbf{f}(\mathbf{x}_{j+1}) - \mathbf{f}(\mathbf{x}_j) \quad j = k, k-1, \dots, k-n+1$$

相减得：

$$(\mathbf{A}_{k+1} - \mathbf{A}_k)(\mathbf{x}_{j+1} - \mathbf{x}_j) = \mathbf{0} \quad j = k-1, k-2, \dots, k-n+1$$

$$(\mathbf{A}_{k+1} - \mathbf{A}_k)(\mathbf{x}_{k+1} - \mathbf{x}_k) = \mathbf{f}(\mathbf{x}_{k+1})$$

若

$$\mathbf{x}_k - \mathbf{x}_{k-1}, \dots, \mathbf{x}_{k-n+2} - \mathbf{x}_{k-n+1}$$

线性无关，则 $\Delta \mathbf{A}_k = \mathbf{A}_{k+1} - \mathbf{A}_k$ 的秩不超过 1。

于是可利用递推公式， $\mathbf{A}_{k+1} = \mathbf{A}_k + \Delta \mathbf{A}_k$ ，并限制 $\Delta \mathbf{A}_k$ 的秩为 1 导出算法。为此只需取

$$\Delta \mathbf{A}_k = \mathbf{u}_k \mathbf{v}_k^\top$$

其中 \mathbf{v}_k 与 $\mathbf{x}_k - \mathbf{x}_{k-1}, \dots, \mathbf{x}_{k-n+2} - \mathbf{x}_{k-n+1}$ 正交， \mathbf{u}_k 为 $\mathbf{f}(\mathbf{x}_{k+1})$ 的若干倍。

这种通过对 \mathbf{A}_k 作修正而得到 \mathbf{A}_{k+1} 的方法是拟 Newton 法的基本出发点。拟 Newton 法的算法如下：

$$\begin{cases} \mathbf{x}_{k+1} = \mathbf{x}_k - \mathbf{A}_k^{-1} \mathbf{f}(\mathbf{x}_k), & k = 0, 1, 2, \dots \\ \mathbf{A}_{k+1}(\mathbf{x}_{k+1} - \mathbf{x}_k) = \mathbf{f}(\mathbf{x}_{k+1}) - \mathbf{f}(\mathbf{x}_k), \\ \mathbf{A}_{k+1} = \mathbf{A}_k + \Delta \mathbf{A}_k, & \text{rank}(\Delta \mathbf{A}_k) = m \geq 1 \end{cases} \quad (2.13)$$

其中 $\Delta \mathbf{A}_k$ 为 \mathbf{A}_k 的修正矩阵， $m = 1$ 或 2 。第二行为拟 Newton 方程， \mathbf{A}_{k+1} 关于点 \mathbf{x}_k 及 \mathbf{x}_{k+1} 具有“差商”性质。为获得超收敛速度， \mathbf{A}_k 应随 k 的增大逐渐逼近 $\mathbf{f}'(\mathbf{x}^*)$ 。

• Broyden 方法

在式 (2.13) 中，限制 $\Delta \mathbf{A}_k$ 的秩为 1。令

$$\Delta \mathbf{A}_k = \mathbf{u}_k \mathbf{v}_k^\top$$

$$\mathbf{v}_k = \mathbf{x}_{k+1} - \mathbf{x}_k$$

代入拟 Newton 方程得：

$$[\mathbf{A}_k + \mathbf{u}_k (\mathbf{x}_{k+1} - \mathbf{x}_k)^\top] (\mathbf{x}_{k+1} - \mathbf{x}_k) = \mathbf{f}(\mathbf{x}_{k+1}) - \mathbf{f}(\mathbf{x}_k)$$

所以

$$\mathbf{u}_k = \frac{\mathbf{f}(\mathbf{x}_{k+1})}{(\mathbf{x}_{k+1} - \mathbf{x}_k)^\top (\mathbf{x}_{k+1} - \mathbf{x}_k)}$$

则得到

$$\begin{cases} \mathbf{x}_{k+1} = \mathbf{x}_k - \mathbf{A}_k^{-1} \mathbf{f}(\mathbf{x}_k), & k = 0, 1, 2, \dots \\ \mathbf{A}_{k+1} = \mathbf{A}_k + \frac{\mathbf{f}(\mathbf{x}_{k+1}) (\mathbf{x}_{k+1} - \mathbf{x}_k)^\top}{(\mathbf{x}_{k+1} - \mathbf{x}_k)^\top (\mathbf{x}_{k+1} - \mathbf{x}_k)} \end{cases} \quad (2.14)$$

其中 $\mathbf{A}_0 \approx \mathbf{f}'(\mathbf{x}_0)$ 。

可用下面的 Sherman-Morrison 矩阵逆修正公式

$$(\mathbf{A} + \mathbf{u}\mathbf{v}^\top)^{-1} = \mathbf{A}^{-1} - \frac{\mathbf{A}^{-1}\mathbf{u}\mathbf{v}^\top\mathbf{A}^{-1}}{1 + \mathbf{v}^\top\mathbf{A}^{-1}\mathbf{u}}$$

将 (2.14) 改为逆 Broyden 秩 1 公式：

$$\begin{cases} \mathbf{x}_{k+1} = \mathbf{x}_k - \mathbf{B}_k \mathbf{f}(\mathbf{x}_k), & k = 0, 1, 2, \dots, \\ \mathbf{B}_{k+1} = \mathbf{B}_k - \frac{\mathbf{B}_k \mathbf{f}(\mathbf{x}_{k+1}) (\mathbf{x}_{k+1} - \mathbf{x}_k)^\top \mathbf{B}_k}{(\mathbf{x}_{k+1} - \mathbf{x}_k)^\top \mathbf{B}_k [\mathbf{f}(\mathbf{x}_{k+1}) - \mathbf{f}(\mathbf{x}_k)]} \end{cases} \quad (2.15)$$

其中 $\mathbf{B}_0 \approx \mathbf{f}'(\mathbf{x}_0)^{-1}$ 。

第 3 章 实验过程（附代码）

与一般的仿真处理全流程类似，本实验的过程主要包括数据的生成、迭代方法的选择、计算结果分析和数据的可视化展示等几个主要步骤。实验的基本思路如图3.1所示。根据基本思路图，本实验对计算所有流程进行了编程，且均已上传到 GitHub¹上。

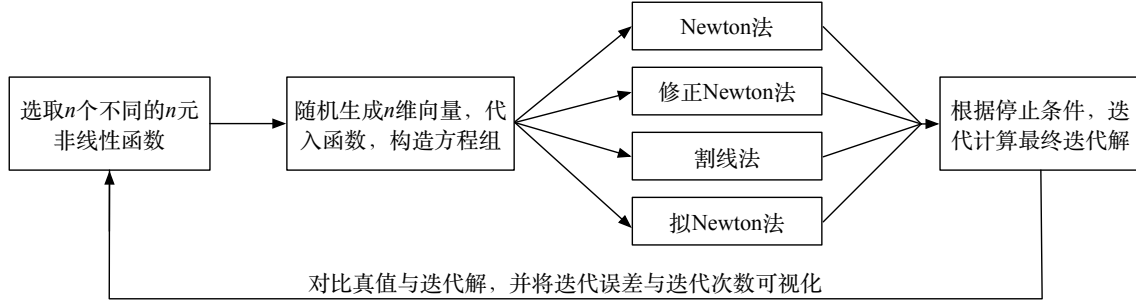


图 3.1: 本实验基本思路

3.1 非线性方程组迭代求解算法的伪代码

3.1.1 Newton 法的伪代码

为了对不同的线性方程组求解，本实验采用将迭代方法也作为输入变量进行编程。

Algorithm 1 求解非线性方程组的 Newton 法

Input: 非线性方程组 $\mathbf{f}(\mathbf{x}) = \mathbf{0}$ 及其对应的函数的一阶导 $\mathbf{f}'(\mathbf{x})$, 范数 p , 初始值 $\mathbf{x}^{(0)}$, 迭代残差的容忍误差 $\|\boldsymbol{\epsilon}^*\|$, 迭代解的容忍误差 $\|\boldsymbol{\epsilon}_x^*\|$, 最大迭代次数 K ;

Output: 最终迭代解 \mathbf{x}^* , 每次迭代解构成的矩阵 \mathbf{x}_{iter} , 每次迭代误差范数 $\|\boldsymbol{\epsilon}\|_p$;

begin

1: 设置 $k = 0$; $\mathbf{x}_{iter} = []$; $\|\boldsymbol{\epsilon}\|_p = []$;

2: **while** $k < K$ **do**

3: $k = k + 1$;

4: 根据式 (2.3) 和线性方程的迭代解法 ILEQS 计算 $\Delta \mathbf{x}_k$;

5: 计算迭代解 $\mathbf{x}_k = \mathbf{x}_{k-1} + \Delta \mathbf{x}_{k-1}$; $\mathbf{x}_{iter} = [\mathbf{x}_{iter}, \mathbf{x}_k]$;

6: 计算误差 $\|\boldsymbol{\epsilon}^{(k)}\|_p = \|\mathbf{f}(\mathbf{x}_k)\|_p$; $\|\boldsymbol{\epsilon}\|_p = [\|\boldsymbol{\epsilon}\|_p, \|\boldsymbol{\epsilon}^{(k)}\|_p]$; $\|\boldsymbol{\epsilon}_x^{(k)}\|_p = \|\Delta \mathbf{x}_{k-1}\|_p$;

7: **if** $(\|\boldsymbol{\epsilon}^{(k)}\|_p < \|\boldsymbol{\epsilon}^*\|) \quad \parallel \quad (\|\boldsymbol{\epsilon}_x^{(k)}\|_p < \|\boldsymbol{\epsilon}_x^*\|)$ **then**

8: **break**;

9: **return** $\mathbf{x}^* = \mathbf{x}_k$, \mathbf{x}_{iter} , $\|\boldsymbol{\epsilon}\|_p$;

end

¹<https://github.com/yuanzihao945/IEQS>

3.1.2 修正 Newton 法的伪代码

Algorithm 2 求解非线性方程组的修正 Newton 法

Input: 非线性方程组 $\mathbf{f}(\mathbf{x}) = \mathbf{0}$ 及其对应的函数的一阶导 $\mathbf{f}'(\mathbf{x})$, 范数 p , 初始值 $\mathbf{x}^{(0)}$, 迭代残差的容忍误差 $\|\boldsymbol{\epsilon}^*\|$, 迭代解的容忍误差 $\|\boldsymbol{\epsilon}_x^*\|$, 最大迭代次数 K ;

Output: 最终迭代解 \mathbf{x}^* , 每次迭代解构成的矩阵 \mathbf{x}_{iter} , 每次迭代误差范数 $\|\boldsymbol{\epsilon}\|_p$;

begin

1: 设置 $k = 0, m = 0$ 和修正步长 s ; $\mathbf{x}_{iter} = []$; $\|\boldsymbol{\epsilon}\|_p = []$;

2: **while** $k < K$ **do**

3: $k = k + 1$; $m_k = \text{ceil}(k/s)$;

4: **if** $m_k > m$ **then**

5: $m = m_k$; 根据式 (2.6) 和线性方程的迭代解法 ILEQS 计算 $\Delta \mathbf{x}_m$;

6: 计算迭代解 $\mathbf{x}_k = \mathbf{x}_{k-1} + \Delta \mathbf{x}_m$; $\mathbf{x}_{iter} = [\mathbf{x}_{iter}, \mathbf{x}_k]$;

7: 计算误差 $\|\boldsymbol{\epsilon}^{(k)}\|_p = \|\mathbf{f}(\mathbf{x}_k)\|_p$; $\|\boldsymbol{\epsilon}\|_p = [\|\boldsymbol{\epsilon}\|_p, \|\boldsymbol{\epsilon}^{(k)}\|_p]$; $\|\boldsymbol{\epsilon}_x^{(k)}\|_p = \|\Delta \mathbf{x}_m\|_p$;

8: **if** $(\|\boldsymbol{\epsilon}^{(k)}\|_p < \|\boldsymbol{\epsilon}^*\|) \parallel (\|\boldsymbol{\epsilon}_x^{(k)}\|_p < \|\boldsymbol{\epsilon}_x^*\|)$ **then**

9: **break**;

10: **return** $\mathbf{x}^* = \mathbf{x}_k$, \mathbf{x}_{iter} , $\|\boldsymbol{\epsilon}\|_p$;

end

3.1.3 割线法

Algorithm 3 求解非线性方程组的 2 点割线法

Input: 非线性方程组 $\mathbf{f}(\mathbf{x}) = \mathbf{0}$, 范数 p , 初始值 $\mathbf{x}^{(0)}$, 迭代残差的容忍误差 $\|\boldsymbol{\epsilon}^*\|$, 迭代解的容忍误差 $\|\boldsymbol{\epsilon}_x^*\|$, 最大迭代次数 K ;

Output: 最终迭代解 \mathbf{x}^* , 每次迭代解构成的矩阵 \mathbf{x}_{iter} , 每次迭代误差范数 $\|\boldsymbol{\epsilon}\|_p$;

begin

1: 设置 $k = 0$; $\mathbf{x}_{iter} = []$; $\|\boldsymbol{\epsilon}\|_p = []$; 并根据式 (2.11) 随机生成 \mathbf{H}_k ;

2: **while** $k < K$ **do**

3: $k = k + 1$;

4: 根据式 (2.11)、(2.12) 计算迭代解 $\mathbf{x}_k = \mathbf{x}_{k-1} - \mathbf{A}_k^{-1} \mathbf{f}(\mathbf{x}_k)$ 和 \mathbf{H}_k ;

5: 计算误差 $\|\boldsymbol{\epsilon}^{(k)}\|_p = \|\mathbf{f}(\mathbf{x}_k)\|_p$; $\|\boldsymbol{\epsilon}\|_p = [\|\boldsymbol{\epsilon}\|_p, \|\boldsymbol{\epsilon}^{(k)}\|_p]$; $\|\boldsymbol{\epsilon}_x^{(k)}\|_p = \|\Delta \mathbf{x}_m\|_p$;

6: **if** $(\|\boldsymbol{\epsilon}^{(k)}\|_p < \|\boldsymbol{\epsilon}^*\|) \parallel (\|\boldsymbol{\epsilon}_x^{(k)}\|_p < \|\boldsymbol{\epsilon}_x^*\|)$ **then**

7: **break**;

8: **return** $\mathbf{x}^* = \mathbf{x}_k$, \mathbf{x}_{iter} , $\|\boldsymbol{\epsilon}\|_p$;

end

Algorithm 4 求解非线性方程组的 $n+1$ 点割线法

Input: 非线性方程组 $\mathbf{f}(\mathbf{x}) = \mathbf{0}$, 范数 p , 初始值 $\mathbf{x}^{(0)}$, 迭代残差的容忍误差 $\|\boldsymbol{\varepsilon}^*\|$, 迭代的容忍误差 $\|\boldsymbol{\varepsilon}_x^*\|$, 最大迭代次数 K ;

Output: 最终迭代解 \mathbf{x}^* , 每次迭代解构成的矩阵 \mathbf{x}_{iter} , 每次迭代误差范数 $\|\boldsymbol{\varepsilon}\|_p$;

begin

- 1: 设置 $k = 0$; $\mathbf{x}_{iter} = []$; $\|\boldsymbol{\varepsilon}\|_p = []$; 在 $\mathbf{x}^{(0)}$ 附近随机生成 k 个辅助点 $\mathbf{x}_{-1}, \mathbf{x}_{-2}, \dots, \mathbf{x}_{-n}$;
- 2: **while** $k < K$ **do**
- 3: 计算 $\bar{\mathbf{H}}_k = [\mathbf{x}_{k-1} - \mathbf{x}_k, \mathbf{x}_{k-2} - \mathbf{x}_{k-1}, \dots, \mathbf{x}_{k-n} - \mathbf{x}_{k-n+1}]$
 $\bar{\mathbf{\Gamma}}_k = [\mathbf{f}(\mathbf{x}_{k-1}) - \mathbf{f}(\mathbf{x}_k), \mathbf{f}(\mathbf{x}_{k-2}) - \mathbf{f}(\mathbf{x}_{k-1}), \dots, \mathbf{f}(\mathbf{x}_{k-n}) - \mathbf{f}(\mathbf{x}_{k-n+1})]$
- 4: 根据式 (2.10) 计算迭代解 \mathbf{x}_{k+1} ; $k = k + 1$;
- 5: 计算误差 $\|\boldsymbol{\varepsilon}^{(k)}\|_p = \|\mathbf{f}(\mathbf{x}_k)\|_p$; $\|\boldsymbol{\varepsilon}\|_p = [\|\boldsymbol{\varepsilon}\|_p, \|\boldsymbol{\varepsilon}^{(k)}\|_p]$; $\|\boldsymbol{\varepsilon}_x^{(k)}\|_p = \|\mathbf{x}_{k+1} - \mathbf{x}_k\|_p$;
- 6: **if** $(\|\boldsymbol{\varepsilon}^{(k)}\|_p < \|\boldsymbol{\varepsilon}^*\|) \parallel (\|\boldsymbol{\varepsilon}_x^{(k)}\|_p < \|\boldsymbol{\varepsilon}_x^*\|)$ **then**
- 7: **break**;
- 8: **return** $\mathbf{x}^* = \mathbf{x}_k, \mathbf{x}_{iter}, \|\boldsymbol{\varepsilon}\|_p$;

end

3.1.4 拟 Newton 法

Algorithm 5 求解非线性方程组的拟 Newton 法

Input: 非线性方程组 $\mathbf{f}(\mathbf{x}) = \mathbf{0}$, 范数 p , 初始值 $\mathbf{x}^{(0)}$, 迭代残差的容忍误差 $\|\boldsymbol{\varepsilon}^*\|$, 迭代的容忍误差 $\|\boldsymbol{\varepsilon}_x^*\|$, 最大迭代次数 K ;

Output: 最终迭代解 \mathbf{x}^* , 每次迭代解构成的矩阵 \mathbf{x}_{iter} , 每次迭代误差范数 $\|\boldsymbol{\varepsilon}\|_p$;

begin

- 1: 设置 $k = 0$; $\mathbf{x}_{iter} = []$; $\|\boldsymbol{\varepsilon}\|_p = []$; 计算 $\mathbf{B}_0 = \mathbf{f}'(\mathbf{x}^{(0)})$;
- 2: **while** $k < K$ **do**
- 3: 根据式 (2.15) 计算
$$\begin{cases} \mathbf{x}_{k+1} = \mathbf{x}_k - \mathbf{B}_k \mathbf{f}(\mathbf{x}_k), & k = 0, 1, 2, \dots, \\ \mathbf{B}_{k+1} = \mathbf{B}_k - \frac{\mathbf{B}_k \mathbf{f}(\mathbf{x}_{k+1}) (\mathbf{x}_{k+1} - \mathbf{x}_k)^\top \mathbf{B}_k}{(\mathbf{x}_{k+1} - \mathbf{x}_k)^\top \mathbf{B}_k [\mathbf{f}(\mathbf{x}_{k+1}) - \mathbf{f}(\mathbf{x}_k)]} \end{cases}$$
- 4: $k = k + 1$, 计算误差 $\|\boldsymbol{\varepsilon}^{(k)}\|_p = \|\mathbf{f}(\mathbf{x}_k)\|_p$; $\|\boldsymbol{\varepsilon}\|_p = [\|\boldsymbol{\varepsilon}\|_p, \|\boldsymbol{\varepsilon}^{(k)}\|_p]$; $\|\boldsymbol{\varepsilon}_x^{(k)}\|_p = \|\mathbf{x}_{k+1} - \mathbf{x}_k\|_p$;
- 5: **if** $(\|\boldsymbol{\varepsilon}^{(k)}\|_p < \|\boldsymbol{\varepsilon}^*\|) \parallel (\|\boldsymbol{\varepsilon}_x^{(k)}\|_p < \|\boldsymbol{\varepsilon}_x^*\|)$ **then**
- 6: **break**;
- 7: **return** $\mathbf{x}^* = \mathbf{x}_k, \mathbf{x}_{iter}, \|\boldsymbol{\varepsilon}\|_p$;

end

3.2 非线性方程组迭代算法代码的编写

通过对 Newton 法、修正 Newton 法、割线法和拟 Newton 法的整合，将代码保存集中在同一函数中，以非线性方程组迭代求解，并命名为 “inleqs.m”。

```

1 function [Xstar, X_iter, errorFun] = inleqs(n, nlef, nlefd, method, options)
2 % ILEQS - Iterative optimization solution of Nonlinear equations by Newton
3 % methods or some variant method
4 %
5 % Input:
6 %   n          - Dimension of NLEQS
7 %   nlef       - n equations of nonlinear functions
8 %   nlefd      - diff of nonlinear functions
9 %   method     - Method of iteration: 'Newton', 'QNewton', 'MNewton', 'Secant'
10 %   options    - Options of algorithm(Struct data), include:
11 %               - options.p: use p-norm
12 %               - options.X0: Intial value of algorithm
13 %               - options.TolFun: tolerance of equation
14 %               - options.TolX: tolerance of solution
15 %               - options.Maxiter: Maximum number of iterations
16 %               - options.Display: If display the final iterations number
17 %               - options.PlotFcns: Draw the error value of each iteration
18 %                                   during the execution of the algorithm
19 %               - options.Smethod: method for Secant
20 %
21 % Output:
22 %   Xstar      - Iterative solutions of equations
23 %   X_iter     - Iterative solutions in every iteration
24 %   errorFun   - Error of linear equations in each iteration
25 %
26 % Usage:
27 %   [] = INLEQS(nlef, nlefd) uses the default settings soluting nonlinear equations
28 %   [] = INLEQS(nlef, nlefd, method) uses the input method to iterate NLEs
29 %   [] = INLEQS(nlef, nlefd, [], options) uses the options' settings soluting NLEs
30 %   Xstar = INLEQS( ... ) returns the iterative solution of NLEs
31 %   [~, X_iter] = ILEQS( ... ) returns the solutions in each iterations
32 %   [~, ~, error] = ILEQS( ... ) returns the error of nonlinear equations
33 %               in each iterations
34
35 % Author   : ZH.Yuan
36 % Update   : 2021/12/26 (First Version: 2021/12/26)
37 % Email    : zihaoyuan@whut.edu.cn (If any suggestions or questions)
38
39 % Set default value of value
40 if ~exist('method', 'var') || isempty(method)
41     method = 'Newton';
42 end
43
44 % Set default value of options

```

```

45 if ~exist('options', 'var') || isempty(options)
46     options.p = 2;
47     options.X0 = zeros(n, 1);
48     options.TolFun = 1e-04;
49     options.TolX = 1e-04;
50     options.Maxiter = max([1000 n]);
51     options.Display = 0;
52     options.omega = [];
53     options.PlotFcns = 'off';
54     options.leqsM = 0;
55     if strcmp(method, 'Secant')
56         options.Smethod = 'N';
57     elseif strcmp(method, 'MNewton')
58         options.s = 3;
59     end
60 end
61
62 % Set default value of options.p
63 if ~isfield(options, 'p')
64     options.p = 2;
65 elseif isempty(options.p)
66     options.p = 2;
67 end
68
69 % Set default value of options.X0
70 if ~isfield(options, 'X0')
71     options.X0 = zeros(n, 1);
72 elseif isempty(options.X0)
73     options.X0 = zeros(n, 1);
74 end
75
76 % Set default value of options.TolFun
77 if ~isfield(options, 'TolFun')
78     options.TolFun = 1e-04;
79 elseif isempty(options.TolFun)
80     options.TolFun = 1e-04;
81 end
82
83 % Set default value of options.TolX
84 if ~isfield(options, 'TolX')
85     options.TolX = 1e-04;
86 elseif isempty(options.TolX)
87     options.TolX = 1e-04;
88 end
89
90 % Set default value of options.Maxiter
91 if ~isfield(options, 'Maxiter')
92     options.Maxiter = max([1000 n]);

```



```

93 elseif isempty(options.Maxiter)
94     options.Maxiter = max([1000 n]);
95 end
96
97 % Set default value of options.Display
98 if ~isfield(options, 'Display')
99     options.Display = 0;
100 elseif isempty(options.Display)
101     options.Display = 0;
102 end
103
104 % Set default value of options.PlotFcns
105 if ~isfield(options, 'PlotFcns')
106     options.PlotFcns = 'off';
107 elseif isempty(options.PlotFcns)
108     options.PlotFcns = 'off';
109 end
110
111 % Set default value of options.leqsM
112 if ~isfield(options, 'leqsM')
113     options.leqsM = 0;
114 elseif isempty(options.leqsM)
115     options.leqsM = 0;
116 end
117
118 % Set default value of options.Smethod for 'Secant' method
119 if strcmp(method, 'Secant')
120     if ~isfield(options, 'Smethod')
121         options.Smethod = 'N';
122     elseif isempty(options.Smethod)
123         options.Smethod = 'N';
124     end
125 end
126
127 % Set default value of options.s for 'MNewton' method
128 if strcmp(method, 'MNewton')
129     if ~isfield(options, 's')
130         options.s = 3;
131     elseif isempty(options.s)
132         options.s = 3;
133     end
134 end
135
136 iter = 0;
137 iter_m = 0;
138 X_old = reshape(options.X0, n, 1);
139 nlefd_m = nlefd(X_old);
140

```

```

141 while iter < options.Maxiter
142     iter = iter + 1;
143
144     switch method
145         case 'Newton'
146             if options.leqsM == 1
147                 DX = reshape(ileqs([nlefd(X_old), -nlef(X_old)]), n, 1);
148             else
149                 DX = - (nlefd(X_old))^(−1) * nlef(X_old);
150             end
151
152         case 'MNewton'
153             iter_m_new = floor(iter / options.s);
154             if iter_m_new > iter_m
155                 nlefd_m = nlefd(X_old);
156                 iter_m = iter_m_new;
157             end
158             if options.leqsM == 1
159                 DX = reshape(ileqs([nlefd_m, -nlef(X_old)]), n, 1);
160             else
161                 DX = - nlefd_m^(−1) * nlef(X_old);
162             end
163
164         case 'Secant'
165             switch options.Smethod
166                 case 'Two'
167                     if iter == 1
168                         DX = 0.3 * randn(1, n);
169                     end
170                     DXNM = diag(DX);
171                     XN = DXNM + X_old;
172                     Ak = zeros(n, n);
173                     for iAk = 1 : n
174                         Ak(:, iAk) = (nlef(XN(:, iAk)) - nlef(X_old)) / DX(iAk);
175                     end
176                     if options.leqsM == 1
177                         DX = reshape(ileqs([Ak, -nlef(X_old)]), n, 1);
178                     else
179                         DX = - Ak^(−1) * nlef(X_old);
180                     end
181                 case 'N'
182                     if iter == 1
183                         P = eye(n) - diag(ones(1, n−1), 1);
184                         XN = 0.2 * randn(n, n) + X_old;
185                         Gammak = zeros(n, n);
186                         for iGamma = 1 : n
187                             Gammak(:, iGamma) = nlef(XN(:, iGamma)) - nlef(X_old);
188                         end

```

```

189         Hk = XN - X_old;
190         Hkbar = Hk * P;
191         Gammakbar = Gammak * P;
192     end
193     if options.leqsM == 1
194         DX = Hkbar * reshape(ileqs([Gammakbar, -nlef(X_old)]), n, 1);
195     else
196         DX = Hkbar * Gammakbar^(-1) * -nlef(X_old);
197     end
198     Hkbar = [-DX, Hkbar(:, 1 : end - 1)];
199     Gammakbar = [nlef(X_old) - nlef(X_old + DX), ...
200                 Gammakbar(:, 1 : end - 1)];
201 end
202
203 case 'QNewton'
204     if iter == 1
205         Bk = nlefd(X_old)^(-1);
206     end
207     DX = - Bk * nlef(X_old);
208     Bk = Bk - (Bk * nlef(X_old + DX) * DX' * Bk) / ...
209         (DX' * Bk * (nlef(X_old + DX) - nlef(X_old)));
210
211 end
212
213 X_new = X_old + DX;
214 errorX = (norm(DX, options.p))^(1/options.p);
215 X_iter(:, iter) = X_new;
216 errorFun(iter) = (norm(nlef(X_old), options.p))^(1/options.p);
217
218 if errorFun(iter) <= options.TolFun || errorX <= options.TolX
219     break
220 end
221 X_old = X_new;
222 end
223
224 if options.Display
225     fprintf(['Algorithm-' mfilename ' stop at the %d-th iteration by ' ...
226            method ' method.\n'], iter);
227 end
228
229 Xstar = X_new;
230
231 if strcmp(options.PlotFcns, 'on')
232     plot(errorFun, 'LineWidth', 2)
233     title('Error of equations in each iteration')
234     xlabel('Iteration number')
235     ylabel('Error of equations')
236 end

```

为了对迭代算法进行更为深入的研究和探析，本文建立一个线性和非线性函数随机组合生成的 n 元非线性方程组。该生成函数保存在“genNLE.m”中。

```

1 function [nlef, nlefd, Xtrue] = genNLE(n)
2 % GENNLE - Generation of Nonlinear Functional Equations
3 % Input :
4 %   n      - Dimensions * Functions (n * n)
5 %
6 % Output:
7 %   nlef    - n equations of nonlinear functions
8 %   nlefd    - diff of nonlinear functions
9 %   Xtrue    - true root of groups
10 %
11 % Usage:
12 %   [nlef, nlefd, Xtrue] = GENNLE(n, nset, nconset)
13 %
14 % See also INLEQS, ILEQS
15
16 % Author   : ZH. Yuan
17 % Update   : 2021/12/26 (First Version: 2021/12/26)
18 % Email    : zihaoyuan@whut.edu.cn (If any suggestions or questions)
19
20 A = n * eye(n) + rand(n);
21 A = A' + A;
22
23 Xtrue = ones(n, 1) + rand(n, 1);
24 b = A * Xtrue;
25
26 k = randperm(14, 2);
27 [rNLEQ1, rNLEQD1] = TestFun(n, k(1));
28 [rNLEQ2, rNLEQD2] = TestFun(n, k(2));
29 nlef = @(x) [rNLEQ1(x) - rNLEQ1(Xtrue); rNLEQ2(x) - rNLEQ2(Xtrue); ...
30             A(3 : end, :) * reshape(x, n, 1) - b(3 : end, :)];
31 nlefd = @(x) [rNLEQD1(x)'; rNLEQD2(x)'; A(3 : end, :)];
32 end
33
34 %% Generate Test Function
35 function [NLEQ, NLEQD] = TestFun(n, k)
36 % Select K n-ary nonlinear functions Randomly
37
38 if ~exist('k', 'var') || isempty(k)
39     k = ceil(14 * rand);
40 end
41
42 A = [2; 2; zeros(n - 2, 1)] + rand(n, 1);
43
44 switch k
45     case 1

```

```

46     NLEQ = @(x) (sum(A .* reshape(x, n, 1)))^2;
47     NLEQD = @(x) 2 * sum(A .* reshape(x, n, 1)) * A;
48 case 2
49     NLEQ = @(x) sum(A .* reshape(x, n, 1)).^2;
50     NLEQD = @(x) 2 * A .* reshape(x, n, 1);
51 case 3
52     NLEQ = @(x) log(sum(A .* reshape(x, n, 1)));
53     NLEQD = @(x) A ./ sum(A .* reshape(x, n, 1));
54 case 4
55     NLEQ = @(x) (sum(A .* reshape(x, n, 1)))^(3/2);
56     NLEQD = @(x) (3/2) * sum(A .* reshape(x, n, 1))^(1/2) * A;
57 case 5
58     NLEQ = @(x) sum(A .* reshape(x, n, 1)).^(3/2);
59     NLEQD = @(x) (3/2) * A .* reshape(x, n, 1).^(3/2);
60 case 6
61     NLEQ = @(x) (sum(A .* reshape(x, n, 1)))^3;
62     NLEQD = @(x) 3 * sum(A .* reshape(x, n, 1))^2 * A;
63 case 7
64     NLEQ = @(x) (sum(A .* reshape(x, n, 1)))^(5/2);
65     NLEQD = @(x) (5/2) * sum(A .* reshape(x, n, 1))^(3/2) * A;
66 case 8
67     NLEQ = @(x) (sum(A .* reshape(x, n, 1)))^4;
68     NLEQD = @(x) 4 * sum(A .* reshape(x, n, 1))^3 * A;
69 case 9
70     NLEQ = @(x) sum(A .* reshape(x, n, 1)).^3;
71     NLEQD = @(x) 3 * A .* reshape(x, n, 1).^2;
72 case 10
73     NLEQ = @(x) sum(A .* reshape(x, n, 1)).^(5/2);
74     NLEQD = @(x) (5/2) * A .* reshape(x, n, 1).^(3/2);
75 case 11
76     NLEQ = @(x) sum(A .* reshape(x, n, 1)).^3;
77     NLEQD = @(x) 3 * A .* reshape(x, n, 1).^2;
78 case 12
79     NLEQ = @(x) sum(A .* reshape(x, n, 1)).^4;
80     NLEQD = @(x) 4 * A .* reshape(x, n, 1).^3;
81 case 13
82     NLEQ = @(x) sum(A .* reshape(x, n, 1)).^(7/2);
83     NLEQD = @(x) (7/2) * A .* reshape(x, n, 1).^(5/2);
84 case 14
85     NLEQ = @(x) (sum(A .* reshape(x, n, 1)))^(7/2);
86     NLEQD = @(x) (7/2) * sum(A .* reshape(x, n, 1))^(5/2) * A;
87 end
88
89 end

```

第 4 章 实验结果

4.1 简例

设有非线性方程组 $f(x) = 0$ ，其中：

$$\begin{cases} f_1(x) = (a_{11} * x_1 + a_{12} * x_2 + \dots + a_{1n} * x_n)^2 \\ f_2(x) = a_{21} * x_1^2 + a_{22} * x_2^2 + \dots + a_{2n} * x_n^2 \\ f_i(x) = A_{i.} * x - b_i \quad i = 3, 4, \dots, n \end{cases}$$

$$A = \begin{pmatrix} 10 & 1 & \dots & 1 & 1 \\ 1 & 10 & \dots & 1 & 1 \\ \vdots & \vdots & \ddots & \vdots & \vdots \\ 1 & 1 & \dots & 10 & 1 \\ 1 & 1 & \dots & 1 & 10 \end{pmatrix}_{n \times n} \quad b = \begin{pmatrix} (n+9)^2 \\ n+99 \\ \vdots \\ n+9 \\ n+9 \end{pmatrix}_n$$

很容易解析得到 $x^* = (1, 1, \dots, 1, 1)$ 。若是用第三节的函数运行可以得到：

```

1 clearvars; close all; clc;
2 n = 10;
3 A = ones(n) + (n - 1) * diag(ones(n, 1));
4 x0 = ones(n, 1);
5 f1 = @(x) sum(A(1, :) * reshape(x, numel(x), 1))^2;
6 f2 = @(x) A(2, :) * reshape(x, numel(x), 1).^2;
7 fx = @(x) [f1(x) - f1(x0); f2(x) - f2(x0); ...
8           A(3 : end, :) * (reshape(x, numel(x), 1) - x0)];
9 fxd = @(x) [2 * sum(A(1, :) * reshape(x, numel(x), 1)) * A(1, :); ...
10            2 * A(2, :) * reshape(x, numel(x), 1) * A(2, :); A(3 : end, :)];
11
12 options.X0 = rand(n, 1);
13 options.PlotFcns = 'on';
14 options.Smethod = 'Two';
15 options.leqsM = 0;
16 options.s = 2;
17
18 subplot(2,2,1)
19 [Xstar1, X_iter1, errorFun1] = inleqs(n, fx, fxd, 'Newton', options);
20 subtitle('by Newton')
21 subplot(2,2,2)
22 [Xstar2, X_iter2, errorFun2] = inleqs(n, fx, fxd, 'MNewton', options);
23 subtitle('by MNewton')
24 subplot(2,2,3)
25 [Xstar3, X_iter3, errorFun3] = inleqs(n, fx, fxd, 'Secant', options);
26 subtitle('by Secant')
27 subplot(2,2,4)
28 [Xstar4, X_iter4, errorFun4] = inleqs(n, fx, fxd, 'QNewton', options);
29 subtitle('by QNewton')
    
```

结果如4.1所示

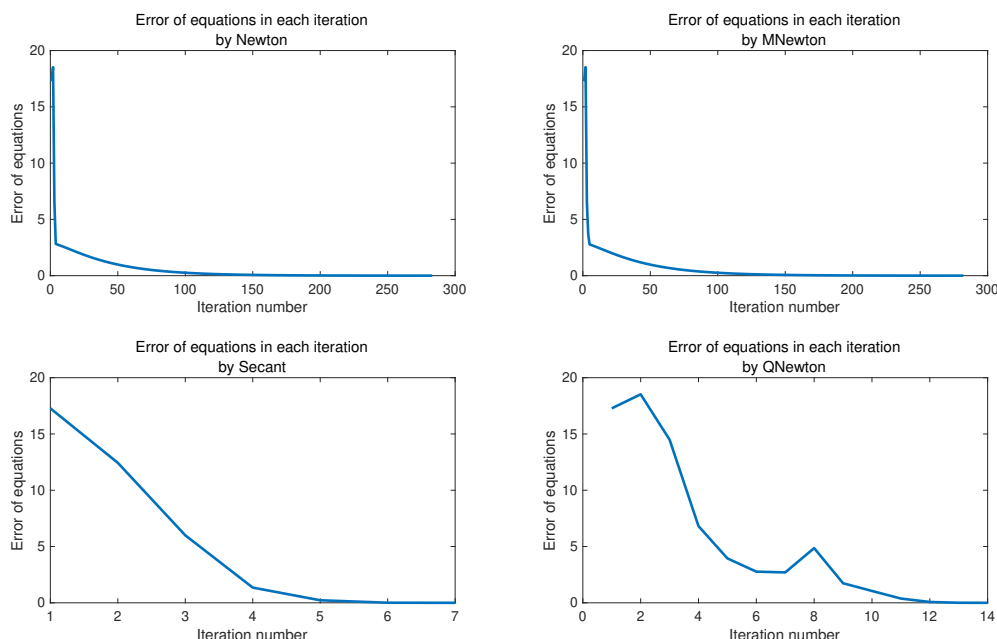


图 4.1: 小例运行结果图示

其中， $Xstar_i$ 表示方程解的输出解； X_iter_i 表示每次迭代的迭代解，每一列为一
次解；errorFun 表示线性方程组的残差向量的 p -范数值。这里将割线法迭代过程中的迭
代解与迭代误差表示在表 4.1 中如下：

表 4.1: 割线法求解简例的迭代过程的解

迭代 次数	迭代解 x										残差 范数
1	1.3745	1.2598	0.9627	0.9627	0.9627	0.9627	0.9627	0.9627	0.9627	0.9627	17.2774
2	1.0931	1.0678	0.9905	0.9905	0.9905	0.9905	0.9905	0.9905	0.9905	0.9905	12.4373
3	0.9952	0.9947	1.0006	1.0006	1.0006	1.0006	1.0006	1.0006	1.0006	1.0006	5.9962
4	1.0001	1.0003	1.0000	1.0000	1.0000	1.0000	1.0000	1.0000	1.0000	1.0000	1.3526
5	1.0000	1.0000	1.0000	1.0000	1.0000	1.0000	1.0000	1.0000	1.0000	1.0000	0.2256
6	1.0000	1.0000	1.0000	1.0000	1.0000	1.0000	1.0000	1.0000	1.0000	1.0000	0.0082
7	1.0000	1.0000	1.0000	1.0000	1.0000	1.0000	1.0000	1.0000	1.0000	1.0000	5.2762e-05

4.2 各方法收敛速度的可视化展示

函数 “inleqs.m” 的运行样例函数 “inleqsDEMOSimple.m” 运行结果展示如4.2所示，
其中。图中命令行窗口展示了各方法（Newton、修正 Newton、割线法和拟 Newton 法）
的迭代终止次数，工作区中为运行后的各方法结果：其中， $Xstar1$ 、 $Xstar2$ 、 $Xstar3$ 和

Xstar4 分别表示各迭代算法的迭代解；errorall1、errorall2、errorall3 和 errorall4 分别表示各迭代算法每次的迭代误差；X_iter1、X_iter2、X_iter3 和 X_iter4 分别表示各迭代算法的所有迭代步骤过程中的向量值构成的矩阵。

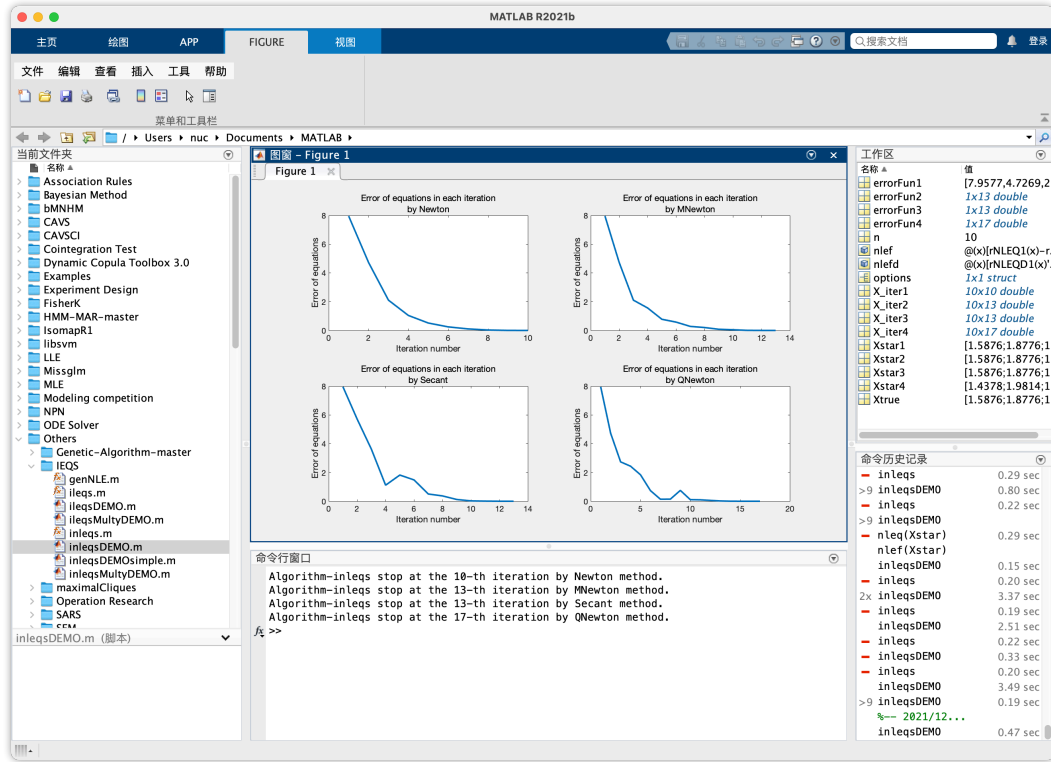


图 4.2: 运行结果图示

```

1 %% inleqsDEMO
2 clearvars; close all; clc
3
4 n = 10;
5 options.X0 = ones(n, 1);
6 options.Display = 1;
7 options.PlotFcns = 'on';
8 options.Smethod = 'Two';
9 options.leqsM = 0;
10 options.s = 2;
11
12 [nlefs, nlefd, Xtrue] = genNLE(n);
13
14 subplot(2,2,1)
15 [Xstar1, X_iter1, errorFun1] = inleqs(n, nlefs, nlefd, 'Newton', options);
16 subtitle('by Newton')
17 subplot(2,2,2)
18 [Xstar2, X_iter2, errorFun2] = inleqs(n, nlefs, nlefd, 'MNewton', options);
19 subtitle('by MNewton')
20 subplot(2,2,3)

```



```

21 [Xstar3, X_iter3, errorFun3] = inleqs(n, nlef, nlefd, 'Secant', options);
22 subtitle('by Secant')
23 subplot(2,2,4)
24 [Xstar4, X_iter4, errorFun4] = inleqs(n, nlef, nlefd, 'QNewton', options);
25 subtitle('by QNewton')
    
```

在阶数 N 分别取 10, 50, 100, 500 时, 将 errorall1、errorall2、errorall3 和 errorall4 分别对应的 Newton、修正 Newton、割线法和拟 Newton 法的迭代算法每次的迭代误差随迭代次数的增加的趋势进行画图, 所得结果如 4.3 所示。可以看出: 该次模拟中, Newton、修正 Newton 的收敛性不如两点割线法和拟牛顿时稳定。最后各阶数下, 各方法的误差都趋于 0, 即各方法都收敛。

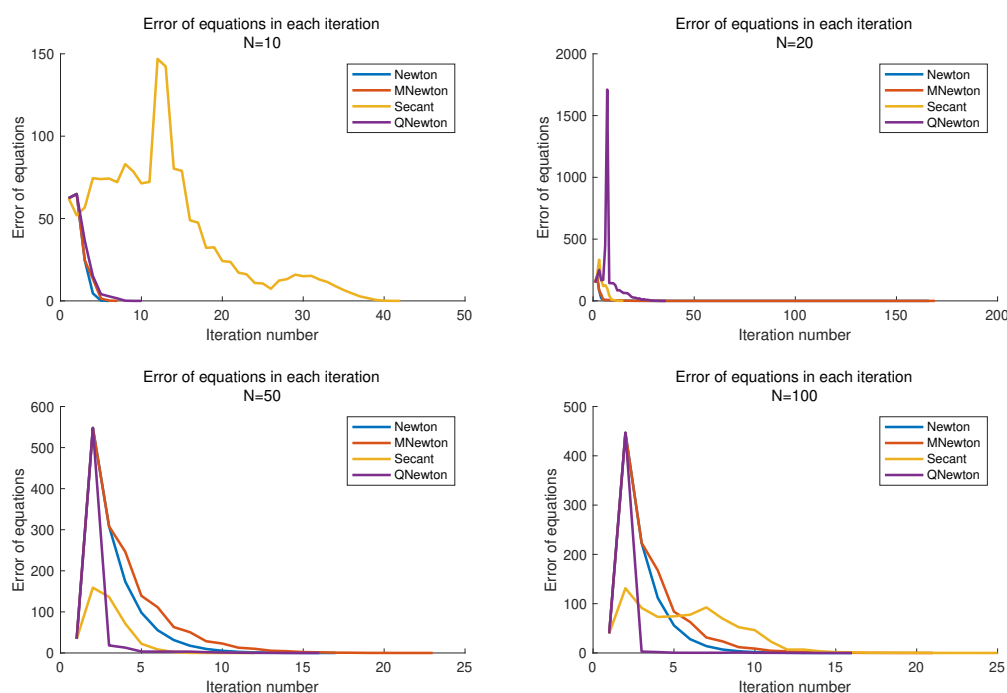


图 4.3: 200 次模拟实验的迭代次数的箱线图

为了更避免模拟实验的随机性, 本文又在阶数 N 分别取 10, 20, 50, 100 时, 对 Newton、修正 Newton、割线法和拟 Newton 法的迭代算法进行了 200 次的模拟测试, 测试结果取每个方法每次最终的迭代终止时的迭代次数。最终, 将 200 次的迭代次数以箱线图 4.4 的形式进行展示。

当然, 更多的参数可以进行设置与调整, 详细的参数设置可以参照函数文件 “inleqs.m” 的 Input 注释进行阅读后调整, 这里不再给出过多的说明。图 4.3 及图 4.4 的详细模拟过程见 GitHub²中的 “inleqsDEMO0.m”、“inleqsDEMO.m” 和 “inleqsMulty-DEMO.m”。

²<https://github.com/yuanzihao945/IEQS>

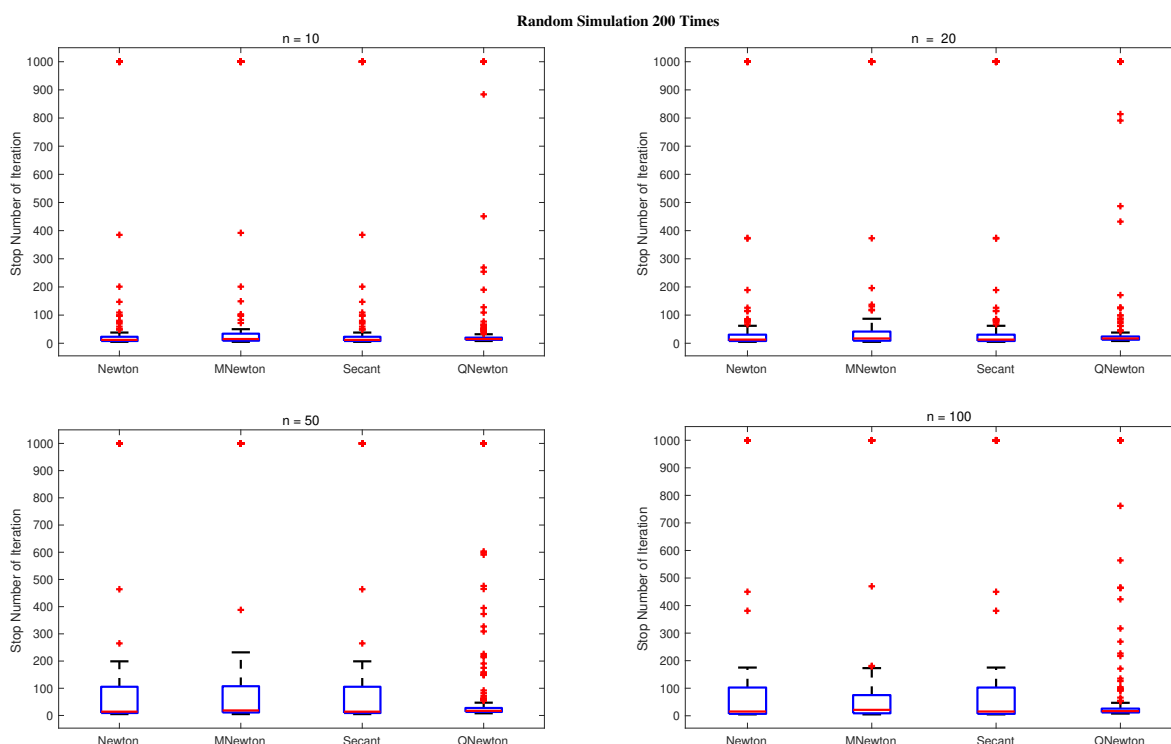


图 4.4: 200 次模拟实验的迭代次数的箱线图

4.3 总结展望

本文在 MATLAB_R2021b 环境下，编写了 Newton、修正 Newton、割线法和拟 Newton 法的迭代算法的迭代矩阵的表达函数，利用迭代矩阵和表达式对非线性方程组进行求解，已验证该迭代思想的正确性与局部收敛性。通过数值模拟分析，验证了其迭代收敛结果的正确性，并通过对误差的分析，确保了其收敛的局部稳定性。

致谢

感谢朱国甫老师对本实验报告的指导与鼓励！朱老师为我指点迷津，帮助我开拓研究思路，精心点拨、热忱鼓励。朱老师严谨细致、一丝不苟的作风，认真教学的态度，踏踏实实的精神让我深受感动。虽历时仅半年，却给我以终生受益无穷之道。对朱老师的感激之情是无法用言语表达的。